

I-60 斜張索による吊橋補剛の効果(第2報)

東京大学工学部 正員 平井 敦
全 全 〇伊藤 学
全 全 佐藤 猛夫

活荷重による吊橋の変形が大きくなると鉄道橋として用いられる場合とくに問題となる。これを解決する手段の一つとして各種の斜張索で吊橋を補剛することについては前報^{*}で概略説明した。ここではその後続的な Tower stay または Radiating cable stay を有する吊橋構型に関する実験の結果について考察する。

検討の対象 実験を行なった模型の基本形式は図-1に示すもので、下記の諸元を有し、主径間 $l = 1000\text{m}$ 程度の実橋と相似させたものである。Tower stay の場合は連続補剛桁についても検討しており、斜張索の取り付け位置（図の e, e' ）は数種に変化させ比較した。

主径間: $l = 1400\text{ cm}$, 側径間: $l' = 500\text{ cm}$,

主径間ケーブル垂距: $f = 140\text{ cm}$, 死荷重: $W = 0.166 \text{ kg/cm}$ (全巾), 補剛桁曲げ剛性: $EI = 2.3 \times 10^6 \text{ kg-cm}^2$ (全巾), 塔曲げ剛性: $E_T I_T = 63.5 \times 10^6 \text{ kg-cm}$ (全巾), ケーブル断面剛性: $E_c A_c = 13.4 \times 10^4 \text{ kg}$ (全巾), ステイ断面剛性: $E_s A_s = 1.1 \times 10^4 \text{ kg}$ (全巾), 死荷重によるケーブル水平張力: $H_w = 290 \text{ kg}$ (全巾), パラメータ: $\rho = l \sqrt{H_w/EI} = 15.7$, $\lambda = (f/H_w) (E_s A_s/E_T I_T) = 2.2$

撓み・曲げモーメント・撓み角 補剛桁主要点の撓み・曲げモーメント・撓み角、実験値の一部を影響線の形で図-2に示す。またそのうち一二、三について理論計算値と比較すれば図-3のようになる。実験における若干の不備はあるが、これらの結果から、従来の理論的研究からもいわれているように連続補剛桁または Tower stay を用いたことの効果は主径間中央附近では顕著ではないが、長径向吊橋で問題となる活荷重による撓み変形を減らさせることにはきわめて有効であることがわかる。また Tower stay、補剛桁へ最も適合と思われる取り付け位置は比較的塔に近い所にあることも推察される。Cable stay についてもほぼ同様であるが、ケーブルへの取り付け点でケーブルばかり無理な変形を生じるおそれがある。そのため Tower stay の数を増すことほんうずしても効果的ではないか、cable stay は本数が多く用いることが従来も考えられてきた。しかしこれらが主流となりてからいせられたためには架設にかなり困難を伴うことも予想される。Tower stay は塔にレギュレブルであるので動きが少なく Cable stay の方を推す論もあるが、Tower stay の方がそれだけ無理がないといふこともいえよう。ステイの断面を変化させて検討することも必要であるが、一般に断面積はそれ程大なることを要しないものと思われる。

固有振動周期と減衰性 実測結果は表のようにあり、固有振動周期に対する影響は振動形とステイ取り付け位置の関連によって影響に差のあることは当然予想される。振動減衰性について一般に低次並対構型振動形に対して Tower stay が減衰性を増す効果のある

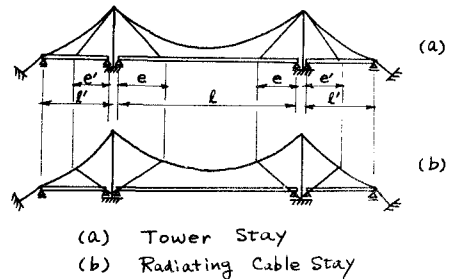


図-1 基本形式

ことは確かめられたが、Cable stay の方は全くその効果が認められなかつたのは以前の Farquharson の実験と反する結果では目される。この場合塔・ケーブル・ステイで固まる部分が一体として振動すと共に、ケーブルの橋軸方向変位が大きく、とくに前者の現象が減衰を抑制する働きをするようと思われた。この実験は山本和男君等の協力を得たものでここに謝意を表す。

形式	ステイ位置	n	T (sec)	δ
$\frac{1}{2}$ 1 2 3 4 5	$e = e'$	1	0.826	0.109
	$= 0$	2	0.879	0.111
		3	0.564	0.047
		4	0.409	0.042
		5	0.294	0.033
(a)	$e = \frac{L}{4}$	1	0.713	0.121
		2	0.709	0.082
		3	0.524	0.069
		4	0.408	0.035
		5	0.290	0.030
(b)	$e = \frac{L}{8}$	1	0.741	0.117
		2	—	—
		3	0.431	0.051
		4	0.292	0.093
		5	0.247	0.059
直線	$e = \frac{L}{16}$	1	0.707	0.136
		2	0.750	0.505
		3	0.486	0.069
		4	0.313	0.133
		5	0.237	0.044
$\frac{1}{2}$ 1 2 3 4 5	$e = \frac{L}{8}$	1	0.729	0.079
		2	0.667	0.060
		3	0.434	0.031
		4	0.293	0.021
		5	—	—
(a')	$e = \frac{L}{16}$	1	0.728	0.121
		2	0.767	0.080
		3	0.493	0.031
		4	0.346	0.028
		5	0.258	0.023
(b')	$e = \frac{L}{8}$	1	0.817	0.076
		2	0.674	0.044
		3	0.458	0.041
		4	—	—
		5	—	—
$\frac{1}{2}$ 1 2 3 4 5	$e = e'$	1	0.784	0.097
		2	0.878	0.069
		3	0.579	0.051
		4	0.390	0.042
		5	0.285	0.034
(a'')	$e = \frac{L}{4}$	1	0.692	0.099
		2	0.572	0.711
		3	0.516	0.042
		4	0.403	0.072
		5	0.273	0.029
(b'')	$e = \frac{L}{8}$	1	0.713	0.125
		2	0.684	0.531
		3	0.440	0.039
		4	0.268	0.084
		5	0.324	0.033
直線	$e = \frac{L}{16}$	1	0.690	0.185
		2	0.750	0.339
		3	0.471	0.044
		4	0.316	0.058
		5	0.245	0.051

n : 振動次数, T : 周期, δ : 対数減衰率
固有振動周期と減衰率

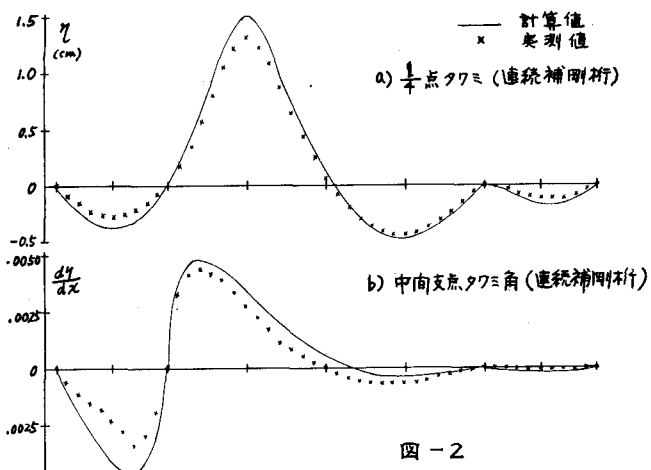


図 - 2

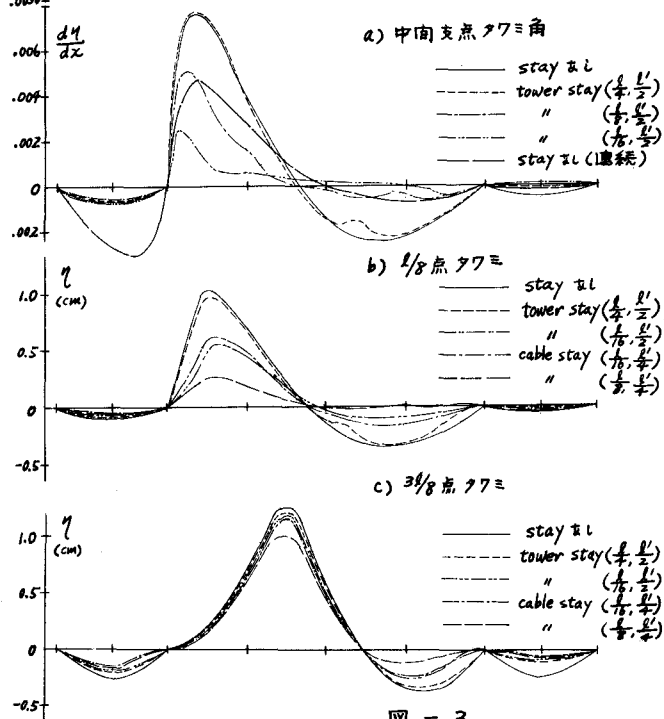


図 - 3